



УДК 519.622

© 2015 г. **Е.А. Новиков**, д-р физ.-мат. наук
(Институт вычислительного моделирования СО РАН, Красноярск)

МЕТОД ТИПА РОЗЕНБРОКА ТРЕТЬЕГО ПОРЯДКА С ВНУТРЕННЕЙ L -УСТОЙЧИВОСТЬЮ*

Построен L -устойчивый метод типа Розенброка третьего порядка точности, в котором промежуточные численные формулы тоже L -устойчивые. Получено неравенство для контроля точности вычислений с применением вложенного метода второго порядка. Сформулирован алгоритм интегрирования переменного шага. Приведены результаты расчетов.

Ключевые слова: жесткая система, метод Розенброка, оценка ошибки, переменный шаг.

Введение

Проблема решения задачи Коши для жестких систем обыкновенных дифференциальных уравнений большой размерности возникает во многих важных прикладных задачах: при моделировании физических и химических процессов, при расчете радиоэлектронных схем и электрических цепей, при моделировании динамики механических и электроэнергетических систем, при аппроксимации уравнений в частных производных системой обыкновенных дифференциальных уравнений. Учет большого числа факторов при построении математических моделей расширяет класс задач, описываемых жесткими системами [1, 2]. Сложность практических задач приводит к возрастающим требованиям к вычислительным алгоритмам.

Для численного решения жестких задач обычно применяются L -устойчивые методы [1]. При реализации таких численных схем на каждом шаге решается линейная система алгебраических уравнений с применением LU-разложения некоторой матрицы, размерность которой совпадает с размерностью вектора решения. В силу плохой обусловленности матрицы Якоби жесткой системы дифференциальных уравнений решение алгебраической системы осуществляется с выбором главного элемента по строке или столбцу, а иногда и по всей матрице. При большой размерности исходной задачи общие вычислительные затраты фактически полностью определяются временем декомпозиции данной матрицы.

В последнее время при решении жестких задач широкое распространение

* Работа поддержана РФФИ (проект 14-01-00047).

получили методы типа Розенброка [3], которые относятся к одношаговым безытерационным численным формулам. В отличие от неявных или полуявных методов типа Рунге-Кутты в данных численных схемах матрица Якоби введена непосредственно в вычислительную формулу. В результате вместо решения нелинейных систем алгебраических уравнений на каждом шаге несколько раз решается линейная система. Кроме того, в методах типа Розенброка достаточно легко оценить вычислительные затраты на шаг до начала вычислений. Довольно полное исследование этих методов содержится в [1, 4].

Здесь для решения жестких задач разработан L -устойчивый трехстадийный метод типа Розенброка третьего порядка точности. При определении стадий данного метода в двух точках приближенное решение вычисляется по промежуточным или внутренним численным схемам, для которых тоже выполняется свойство L -устойчивости. Построено неравенство для контроля точности вычислений с применением вложенной схемы второго порядка. Сформулирован алгоритм переменного шага. Приведены результаты расчетов.

Трехстадийный метод типа Розенброка

Рассмотрим задачу Коши для жесткой системы обыкновенных дифференциальных уравнений вида

$$y' = f(y), \quad y(t_0) = y_0, \quad t_0 \leq t \leq t_k, \quad (1)$$

где y и f – вещественные N -мерные вектор-функции; t – независимая переменная. Идея методов типа Розенброка заключается во введении матрицы Якоби непосредственно в численную формулу, что приводит на каждом шаге к необходимости решения линейной системы алгебраических уравнений. Это существенно упрощает программную реализацию алгоритмов интегрирования. Отметим, что в неявных и полуявных схемах типа Рунге-Кутта необходим итерационный процесс типа ньютоновского.

Рассмотрим численную формулу вида

$$\begin{aligned} y_{n+1} &= y_n + p_1 k_1 + p_2 k_2 + p_3 k_3, \\ D_n k_1 &= hf(y_n), \quad D_n k_2 = hf(y_n + \beta_{21} k_1), \\ D_n k_3 &= hf(y_n + \beta_{31} k_1 + \beta_{32} k_2), \end{aligned} \quad (2)$$

где h – шаг интегрирования; $D_n = E + ahf'_n$; E – единичная матрица; $f'_n = \partial f(y_n)/\partial y$ – матрица Якоби системы (1); a, p_i и β_{ij} – числовые коэффициенты.

Условия порядка

Разложим стадии k_i , $1 \leq i \leq 3$, по степеням h и подставим в первую формулу (2). Получим

$$\begin{aligned} y_{n+1} &= y_n + (p_1 + p_2 + p_3)hf_n + [ap_1 + (a + \beta_{21})p_2 + (a + \beta_{31} + \beta_{32})p_3]h^2 f'_n f_n + \\ &+ \left\{ a^2 p_1 + (a^2 + 2a\beta_{21})p_2 + [a^2 + 2a(\beta_{31} + \beta_{32}) + \beta_{21}\beta_{32}]p_3 \right\} h^3 f_n'^2 f_n + \\ &+ \frac{1}{2} [\beta_{21}^2 p_2 + (\beta_{31} + \beta_{32})^2 p_3] h^3 f_n'' f_n^2 + \end{aligned}$$

$$\begin{aligned}
& + \left\{ a^3 p_1 + (a^3 + 3a^2 \beta_{21}) p_2 + [a^3 + 3a^2 (\beta_{31} + \beta_{32}) + 3a \beta_{21} \beta_{32}] p_3 \right\} h^4 f_n'^3 f_n + \\
& + \left\{ a \beta_{21}^2 p_2 + (\beta_{31} + \beta_{32}) [a (\beta_{31} + \beta_{32}) + \beta_{21} \beta_{32}] p_3 \right\} h^4 f_n'' f_n' f_n^2 + \\
& + \frac{1}{2} \left\{ a \beta_{21}^2 p_2 + [\beta_{21}^2 \beta_{32} + a (\beta_{31} + \beta_{32})^2] p_3 \right\} h^4 f_n' f_n'' f_n^2 + \\
& + \frac{1}{6} \left\{ \beta_{21}^3 p_2 + (\beta_{31} + \beta_{32})^3 p_3 \right\} h^4 f_n''' f_n^3 + O(h^5).
\end{aligned}$$

Ряд Тейлора для точного решения $y(t_{n+1})$ в окрестности точки t_n имеет вид

$$\begin{aligned}
y(t_{n+1}) = y(t_n) + hf + \frac{1}{2} h^2 ff' + \frac{1}{6} h^3 [f'^2 f + f''f^2] + \\
+ \frac{1}{24} h^4 [f'^3 f + ff''f^2 + 3ff'f^2 + f'''f^3] + O(h).
\end{aligned} \tag{3}$$

Полагая $y_n = y(t_n)$ и сравнивая ряды для точного и приближенного решений до членов с h^3 включительно, получим условия третьего порядка точности схемы (2), которые записываются следующим образом:

$$\begin{aligned}
p_1 + p_2 + p_3 &= 1, \\
ap_1 + (a + \beta_{21}) p_2 + (a + \beta_{31} + \beta_{32}) p_3 &= \frac{1}{2}, \\
\beta_{21}^2 p_2 + (\beta_{31} + \beta_{32})^2 p_3 &= \frac{1}{3}, \\
a^2 p_1 + (a^2 + 2a\beta_{21}) p_2 + [a^2 + 2a(\beta_{31} + \beta_{32}) + \beta_{21}\beta_{32}] p_3 &= \frac{1}{6}.
\end{aligned} \tag{4}$$

Локальная ошибка $\delta_{n,3}$ численной формулы (2) с коэффициентами (4) имеет вид:

$$\begin{aligned}
\delta_{n,3} = & \left\{ \frac{1}{24} - a^3 p_1 - (a^3 + 3a^2 \beta_{21}) p_2 - [a^3 + 3a^2 (\beta_{31} + \beta_{32}) + 3a \beta_{21} \beta_{32}] p_3 \right\} h^4 f_n'^3 f_n + \\
& + \left\{ \frac{1}{8} - a \beta_{21}^2 p_2 - (\beta_{31} + \beta_{32}) [a (\beta_{31} + \beta_{32}) + \beta_{21} \beta_{32}] p_3 \right\} h^4 f_n'' f_n' f_n^2 + \\
& + \left\{ \frac{1}{24} - \frac{1}{2} a \beta_{21}^2 p_2 - \frac{1}{2} [\beta_{21}^2 \beta_{32} + a (\beta_{31} + \beta_{32})^2] p_3 \right\} h^4 f_n' f_n'' f_n^2 + \\
& + \left\{ \frac{1}{24} - \frac{1}{6} \beta_{21}^3 p_2 - \frac{1}{6} (\beta_{31} + \beta_{32})^3 p_3 \right\} h^4 f_n''' f_n^3 + O(h^5).
\end{aligned}$$

Упростим систему (4). Для этого подставим первое равенство во второе и четвертое соотношения (4). Обозначая $\beta = \beta_{31} + \beta_{32}$, имеем

$$\begin{aligned}
p_1 + p_2 + p_3 &= 1, \\
\beta_{21} p_2 + \beta p_3 &= \frac{1}{2} - a, \quad \beta_{21}^2 p_2 + \beta^2 p_3 = \frac{1}{3}, \quad \beta_{21} \beta_{32} p_3 = \frac{1}{6} - a + a^2,
\end{aligned} \tag{5}$$

причем локальная ошибка $\delta_{n,3}$ переписывается в виде

$$\begin{aligned} \delta_{n,3} = & \left(\frac{1}{24} - a^3 + \frac{3}{2}a^2 - \frac{1}{2}a \right) h^4 f'^3 f + \left[\frac{1}{8} - \frac{1}{3}a - \left(\frac{1}{6} - a + a^2 \right) \cdot \beta \right] h^4 f'' f f^2 + \\ & + \left[\frac{1}{12} - \frac{1}{3}a - \beta_{21} \left(\frac{1}{6} - a + a^2 \right) \right] h^4 f f f^2 + \\ & + \left[\frac{1}{4} - \beta_{21}^3 p_2 - \beta^3 p_3 \right] h^4 f''' f^3 + O(h^5). \end{aligned}$$

Исследование устойчивости

Исследование устойчивости численной формулы (2) проведем на тестовом уравнении Дальквиста [5]

$$y' = \lambda y, \quad y(0) = y_0, \quad t \geq 0, \quad (6)$$

где λ есть комплексное число, $\text{Re}(\lambda) < 0$. Смысл λ – произвольное собственное число матрицы Якоби системы (1). Записывая стадии метода (2) применительно к решению тестовой задачи, имеем

$$\begin{aligned} k_1 &= \frac{x}{1-ax} \cdot y_n, \quad k_2 = \frac{x + (\beta_{21} - a)x^2}{(1-ax)^2} \cdot y_n, \\ k_3 &= \frac{x + (\beta_{31} + \beta_{32} - 2a)x^2 + [a^2 - a(\beta_{31} + \beta_{32}) + \beta_{21}\beta_{32}]x^3}{(1-ax)^3} \cdot y_n, \end{aligned}$$

где $x = h\lambda$. Подставляя полученные представления стадий в первую формулу (2), получим $y_{n+1} = Q(x)y_n$, где $Q(x)$ называют функцией устойчивости метода (2). Она имеет вид

$$\begin{aligned} Q(x) &= \frac{1 + (1-3a)x + [3a^2 - 2a + \beta_{21}p_2 + (\beta_{31} + \beta_{33})p_3]x^2}{(1-ax)^3} - \\ & - \frac{\{a^3 - a^2p_1 + a(\beta_{21} - a)p_2 - [a^2 - a(\beta_{31} + \beta_{32}) + \beta_{21}\beta_{32}]p_3\}x^3}{(1-ax)^3}. \end{aligned}$$

Необходимым условием L -устойчивости является требование того, чтобы степень многочлена в числителе была на единицу меньше степени полинома в знаменателе. Нетрудно видеть, что это требование будет выполнено, если имеет место соотношение

$$a^3 - a^2p_1 + a(\beta_{21} - a)p_2 - [a^2 - a(\beta_{31} + \beta_{32}) + \beta_{21}\beta_{32}]p_3 = 0.$$

Учитывая соотношения (5), условие L -устойчивости записывается в виде

$$a^3 - 3a^2 + \frac{3}{2}a - \frac{1}{6} = 0.$$

Данное уравнение имеет три вещественных корня: $a_1 = 2.40514957850286$; $a_2 = 0.158983899988677$; $a_3 = 0.435866521508459$. Согласно [6], схема (2) будет

дополнительно A -устойчивой, если параметр a удовлетворяет неравенству $1/3 \leq a \leq 1.0685790$. В результате ниже будем полагать значение коэффициента a равным 0.435866521508459 , при котором численная схема (2) является L -устойчивой.

При расчетах по схеме (2) в двух промежуточных точках $(t_n + (\beta_{31} + \beta_{32}) \cdot h)$ и $(t_n + \beta_{21} \cdot h)$ вычисляются приближенные решения $y_{n+1,\alpha}$ и $y_{n+1,\beta}$ соответственно по внутренним численным формулам

$$y_{n+1,\alpha} = y_n + \beta_{21}k_1, \quad y_{n+1,\beta} = y_n + \beta_{31}k_1 + \beta_{32}k_2. \quad (7)$$

Исследуем устойчивость методов (7). Применяя их для решения тестового уравнения (6), имеем $y_{n+1,\alpha} = Q_\alpha(x) \cdot y_n$ и $y_{n+1,\beta} = Q_\beta(x) \cdot y_n$, где функции устойчивости $Q_\alpha(x)$ и $Q_\beta(x)$ внутренних схем имеют вид

$$Q_\alpha(x) = \frac{1 + (\beta_{21} - a)x}{1 - ax} \cdot y_n,$$

$$Q_\beta(x) = \frac{1 + (\beta_{31} + \beta_{32} - 2a)x + [a^2 - a\beta + \beta_{21}\beta_{32}]x^2}{(1 - ax)^2} \cdot y_n,$$

где $\beta = \beta_{31} + \beta_{32}$. Требование L -устойчивости промежуточных численных схем приводят к двум дополнительным соотношениям на коэффициенты

$$\beta_{21} - a = 0, \quad a^2 - a\beta + \beta_{21}\beta_{32} = 0.$$

Исследование совместности условий порядка и устойчивости

Учитывая равенство $\beta_{21} = a$, перепишем условия порядка и устойчивости

$$1) p_1 + p_2 + p_3 = 1, \quad 2) ap_2 + \beta p_3 = \frac{1 - 2a}{2}, \quad 3) a^2 p_2 + \beta^2 p_3 = \frac{1}{3},$$

$$4) \beta_{32} p_3 = \frac{6a^2 - 6a + 1}{6a}, \quad 5) \beta_{32} = \beta - a, \quad 6) \beta = \beta_{31} + \beta_{32}. \quad (8)$$

Исследуем совместность нелинейной алгебраической системы (8). Вычтем из третьего уравнения второе, умноженное на коэффициент a . Затем перепишем четвертое равенство, учитывая пятое соотношение (8). Получим:

$$\beta(\beta - a)p_3 = \frac{6a^2 - 3a + 2}{6}, \quad (\beta - a)p_3 = \frac{6a^2 - 6a + 1}{6a}.$$

Отсюда при условии $\beta \neq a$ и $p_3 \neq 0$ имеем $\beta = \frac{a(6a^2 - 3a + 2)}{6a^2 - 6a + 1}$. Тогда с помощью

пятого уравнения (8) вычислим β_{32} , а из шестого уравнения имеем $\beta_{31} = a$. Из четвертого уравнения (8) получим $p_3 = \frac{6a^2 - 6a + 1}{6a(\beta - a)}$, а из второго равенства имеем

$p_2 = \frac{1 - 2a - 2\beta p_3}{2a}$. Оставшийся коэффициент p_1 определим из первого уравнения

(8). В результате получим коэффициенты L -устойчивого метода (2) третьего порядка точности, промежуточные численные схемы которого тоже являются L -устойчивыми. Данные коэффициенты имеют вид:

$$a = 0.435866521508459, \quad p_1 = \beta_{21} = \beta_{31} = a, \quad \beta = \frac{a(6a^2 - 3a + 2)}{6a^2 - 6a + 1},$$

$$\beta_{32} = \beta - a, \quad p_3 = \frac{6a^2 - 6a + 1}{6a(\beta - a)}, \quad p_2 = \frac{1 - 2a - 2\beta p_3}{2a}, \quad p_1 = 1 - p_2 - p_3.$$

Для расчетов с двойной точностью вычислим

$$p_1 = \beta_{21} = \beta_{31} = a = 0.435866521508459, \quad \beta_{32} = -2.116053335949811, \\ p_2 = 0.4782408332745185, \quad p_3 = 0.0858926452170225.$$

Контроль точности вычислений

В жестких задачах для методов третьего порядка поведение ошибки определяется элементарным дифференциалом $f^3 f$ [7, 8], который называют главным членом. Поэтому при построении оценки ошибки будем учитывать только первое слагаемое в локальной ошибке. Для организации контроля точности вычислений и автоматического выбора величины шага интегрирования поступим по аналогии [9, 10]. Для оценки ошибки используем идею вложенных методов. Рассмотрим двухстадийную численную формулу

$$y_{n+1,2} = y_n + b_1 k_1 + b_2 k_2, \quad D_n k_1 = hf(y_n), \quad D_n k_2 = hf(y_n + \beta_{21} k_1), \quad (9)$$

где приближение y_n вычислено по формуле (2), $\beta_{21} = a$. Отметим, что в численной формуле (9) применяются стадии метода (2), и поэтому применение (9) практически не приводит к увеличению вычислительных затрат.

Потребуем, чтобы численная схема (9) имела второй порядок точности. Ряд Тейлора для приближенного решения $y_{n+1,2}$ имеет вид

$$y_{n+1,2} = y_n + (b_1 + b_2)hf_n + [ab_1 + (a + \beta_{21})b_2]h^2 f'_n f_n + O(h^3).$$

Сравнивая полученное представление приближенного решения с рядом Тейлора для точного решения (3), получим, что метод (9) будет иметь второй порядок, если $b_1 + b_2 = 1$, $ab_1 + (a + \beta_{21})b_2 = 0.5$ или $b_1 + b_2 = 1$, $ab_2 = 0.5 - a$. Отсюда

следует, что при значениях коэффициентов $b_1 = \frac{4a-1}{2a}$, $b_2 = \frac{1-2a}{2a}$ схема (9) имеет

второй порядок точности, а ее локальная ошибка $\delta_{n,2}$ получается в виде:

$$\delta_{n,2} = \frac{6a^2 - 6a + 1}{6} h^3 f'^2 f + \frac{6a^2 - 3a + 2}{12} h^3 f f'^2 + O(h^4).$$

Локальная ошибка $\delta_{n,3}$ схемы (2) записывается следующим образом:

$$\delta_{n,3} = \frac{1 - 12a + 36a^2 - 24a^3}{24} h^4 f'^3 f + O(h^4).$$

Учитывая вид локальных ошибок $\delta_{n,2}$ и $\delta_{n,3}$ в неравенстве,

для контроля точности можно применять оценку ошибки ε_n вида [9, 10]:

$$\varepsilon_n = \frac{1 - 12a + 36a^2 - 24a^3}{4(6a^2 - 6a + 1)} (y_{n+1} - y_{n+1,2}).$$

Подчеркнем особенность построенной оценки. Из вида функции устойчивости $Q(x)$ следует, что при $x \rightarrow -\infty$ выполняется соотношение $|Q(x)| \rightarrow 0$. Для точного решения $y(t_{n+1}) = \exp(x)y(t_n)$ задачи (6), выполняется аналогичное свойство. Тогда естественным будет требование стремления к нулю оценки ошибки ε_n при $x \rightarrow -\infty$. Однако для построенной оценки имеет место $\varepsilon_n = O(1)$, потому что метод второго порядка (9) при используемом значении коэффициента a не является L -устойчивым. Для исправления асимптотического поведения ошибки вместо ε_n , рассмотрим оценки $\varepsilon_n(j_n)$ вида

$$\varepsilon_n(j_n) = \frac{1 - 12a + 36a^2 - 24a^3}{4(6a^2 - 6a + 1)} D_n^{1-j_n} (y_{n+1} + y_{n+1,2}).$$

При $j_n = 1$ оценка $\varepsilon_n(j_n)$ совпадает с ε_n и будет A -устойчивой, а при $j_n = 2$ – L -устойчивой. Теперь неравенство для контроля точности имеет вид [9]:

$$\left\| D_n^{1-j_n} (y_{n+1} + y_{n+1,1}) \right\| \leq c \cdot \varepsilon, \quad 1 \leq j_n \leq 2, \quad (10)$$

где $c = 4 \cdot |(6a^2 - 6a + 1)/(1 - 12a + 36a^2 - 24a^3)| \approx 3$; $\|\cdot\|$ – некоторая норма в R^N ; ε – требуемая точность интегрирования, а параметр j_n выбирается наименьшим значением, при котором выполняется неравенство (10).

Заметим, что в смысле главного члена оценки $\varepsilon_n(1)$ и $\varepsilon_n(2)$ совпадают. Неравенство (10) при $j_n = 2$ проверяется редко, в основном при резком увеличении шага интегрирования. Поэтому применение $\varepsilon_n(j_n)$ вместо ε_n к значительному росту вычислительных затрат не приводит. Более того, за счет применения $\varepsilon_n(j_n)$ эффективность расчетов повышается более чем на 10%.

Алгоритм интегрирования

Норма $\|\xi\|$ в левой части неравенства (10) вычисляется по формуле

$$\|\xi\| = \max_{1 \leq i \leq N} \left\{ |\xi_i| / (|y_n^i| + r) \right\},$$

где r – положительный параметр. В случае выполнения неравенства $|y_n^i| < r$ по i -й компоненте решения контролируется абсолютная ошибка $r \cdot \varepsilon$. В противном случае контролируется относительная ошибка ε . Иногда с целью повышения надежности расчетов задают набор параметров r_i , $1 \leq i \leq N$.

Теперь сформулируем алгоритм интегрирования. Пусть приближение y_n к решению $y(t_n)$ задачи (1) вычислено в точке t_n с шагом h_n . Учитывая $\varepsilon_n(j_n) = O(h_n^3)$, $1 \leq j_n \leq 2$, алгоритм интегрирования формулируется следующим образом.

Шаг 1. Вычисляется матрица Якоби.

Шаг 2. Формируется матрица $D_n = E + ahf_n'$.

Шаг 3. Вычисляются стадии k_1 , k_2 и k_3 по формулам (2).

Шаг 4. Вычисляется оценка ошибки $\varepsilon_n(1)$.

Шаг 5. Вычисляется величина q_1 по формуле $q_1^3 \cdot \|\varepsilon_n(1)\| = c \cdot \varepsilon$.

Шаг 6. Если $q_1 < 1$, т.е. требуемая точность не выполнена, вычисляется $\varepsilon_n(2)$.

В противном случае $\varepsilon_n(2)$ полагается равным $\varepsilon_n(1)$.

Шаг 7. Вычисляется значение параметра q_2 по формуле $q_2^3 \cdot \|\varepsilon_n(2)\| = c \cdot \varepsilon$.

Шаг 8. Если $q_2 < 1$, то h_n полагается равным $\min(q_1, q_2) \cdot h_n$, и происходит повторное вычисление решения – возврат на шаг 2.

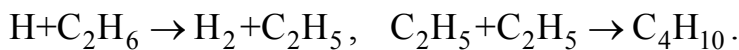
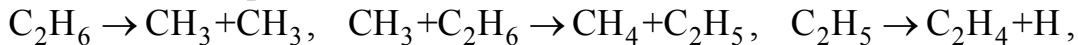
Шаг 9. Вычисляется приближение к решению в точке t_{n+1} по формуле (2).

Шаг 10. Вычисляется значение прогнозируемого шага $h_{n+1} = \min(q_1, q_2) \cdot h_n$.

Шаг 11. Выполняется следующий шаг интегрирования.

Результаты расчетов

Работоспособность построенного алгоритма интегрирования проверена на реакции пиролиз этана в отсутствие кислорода, которая описывается последовательностью элементарных стадий вида [11]:



Константы скоростей стадий имеют вид: $k_1 = 1.34 \cdot 10^{-5}$, $k_2 = 3.73 \cdot 10^2$, $k_3 = 3.69 \cdot 10^3$, $k_4 = 3.66 \cdot 10^5$, $k_5 = 1.62 \cdot 10^7$. Обозначим концентрации реагентов следующим образом:

$$c_1 = [\text{C}_2\text{H}_6], \quad c_2 = [\text{CH}_3], \quad c_3 = [\text{CH}_4], \quad c_4 = [\text{C}_2\text{H}_5],$$

$$c_5 = [\text{C}_2\text{H}_4], \quad c_6 = [\text{H}], \quad c_7 = [\text{H}_2], \quad c_8 = [\text{C}_4\text{H}_{10}].$$

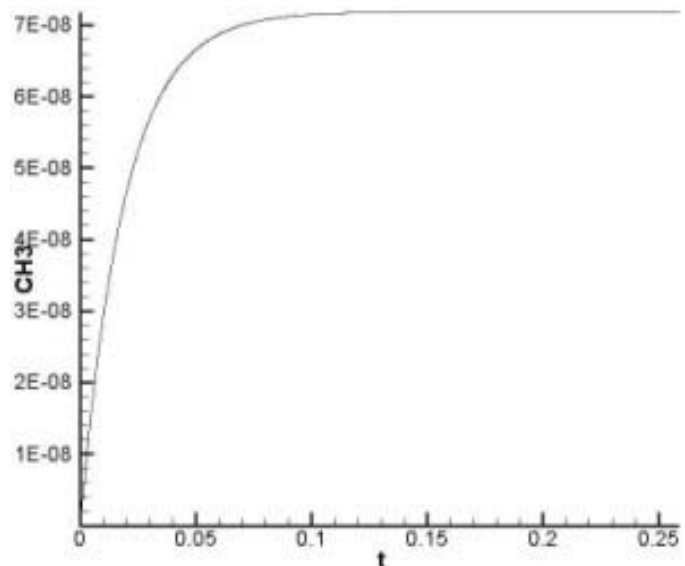
Тогда соответствующая система состоит из 8 обыкновенных дифференциальных уравнений вида

$$c_1' = -k_1 c_1 - k_2 c_1 c_2 - k_4 c_1 c_6, \quad c_2' = 2k_1 c_1 - k_2 c_1 c_2,$$

$$c_3' = k_2 c_1 c_2, \quad c_4' = k_2 c_1 c_2 - k_3 c_4 + k_4 c_1 c_6 - 2k_5 c_4^2, \quad (11)$$

$$c_5' = k_3 c_4, \quad c_6' = k_3 c_4 - k_4 c_1 c_6, \quad c_7' = k_4 c_1 c_6, \quad c_8' = k_5 c_4^2.$$

Начальная концентрация этана $c_1 = [\text{C}_2\text{H}_6]$ равна 0.14, для остальных реагентов концентрации равны нулю. Численное решение осуществлялось на промежутке $[0, 0.26]$ [11]. Данная задача удовлетворяет "классическому" определению жесткости. В начале интервала интегрирования наблюдается переходный участок (сотые доли секунды), а затем происходит медленное установление. Зависимость $c_2 = [\text{CH}_3]$ показана на рисунке.



Зависимость $c_2 = [\text{CH}_3]$.

Решение в конце интервала интегрирования имеет следующий вид:

$$c_1 = 0.1397782, \quad c_2 = 0.7184977 \cdot 10^{-7}, \quad c_3 = 0.9030942 \cdot 10^{-6},$$

$$c_4 = 0.3352456 \cdot 10^{-6}, \quad c_5 = 0.2204030 \cdot 10^{-3}, \quad c_6 = 0.2418056 \cdot 10^{-7},$$

$$c_7 = 0.2203789 \cdot 10^{-3}, \quad c_8 = 0.2718340 \cdot 10^{-6}.$$

Заключение

Построенный алгоритм интегрирования переменного шага основан на L -устойчивом трехстадийном методе типа Розенброка третьего порядка точности. В данной численной схеме приближенное решение вычисляется в двух промежуточных точках. Коэффициенты выбраны таким образом, чтобы внутренние схемы тоже обладали свойством L -устойчивости.

В построенной численной схеме на каждом шаге один раз вычисляется матрица Якоби, один раз выполняется декомпозиция матрицы Dn (прямой ход в методе Гаусса с выбором главного элемента), три раза вычисляется функция f и три раза выполняется обратный ход в методе Гаусса. Для выбора величины шага интегрирования применяется оценка ошибки, вычисленная с помощью вложенной численной формулы второго порядка точности. Из результатов расчетов 12 задач [1] и 10 тестовых примеров из области химической кинетики [12] следуют надежность и эффективность неравенства для контроля точности вычислений и автоматического выбора величины шага интегрирования.

Наибольшая эффективность построенного алгоритма достигается при задаваемой точности расчетов $\varepsilon = 10^{-4}$. Это следствие третьего порядка точности численной формулы.

ЛИТЕРАТУРА

1. Хайпер Э., Ваннер Г. Решение обыкновенных дифференциальных уравнений. Жесткие и дифференциально-алгебраические задачи. – М.: Мир, 1999.
2. Новиков Е.А., Шорников Ю.В. Компьютерное моделирование жестких гибридных систем. – Новосибирск: НГТУ, 2012.
3. Rosenbrock H.H. Some general implicit processes for the numerical solution of differential equations // Computer. – 1963. – № 5. – P.329-330.
4. Деккер К., Вервер Я. Устойчивость методов Рунге-Кутты для жестких нелинейных дифференциальных уравнений. – М.: Мир, 1988.
5. Dahlquist G. A special stability problem for linear multistep methods // BIT. – 1963. – Vol. 3. – P.23-43.
6. Демидов Г.В., Юматова Л.А. Исследование некоторых аппроксимаций в связи с A -устойчивостью полуявных методов // Численные методы механики сплошной среды. – 1977. – Т. 8, №3. – С.68-79.
7. Новиков Е.А. Явные методы для жестких систем. – Новосибирск: Наука, 1997.
8. Новиков А.Е., Новиков Е.А. Численное решение жестких задач с небольшой точностью // Математическое моделирование. – 2010. – Т. 22, №1. – С.46-56.
9. Новиков Е.А. Численное моделирование кольцевого модулятора (3,2)-методом решения жестких задач // Информатика и системы управления. – 2011. – №1(27). – С.50-61.
10. Новиков Е.А. Моделирование билиарной системы методом Фельберга с контролем точности и устойчивости // Информатика и системы управления. – 2014. – №1(39). – С.42-52.
11. Kulich D.M., Taylor J.E. Mathematical simulation of the oxygen ethane reaction // J. Chem. Kinetic. – 1975. – Vol. 8. – P.89-97.
12. Enright W.H., Hull T.E., Lindberg B. Comparing numerical methods for the solutions of stiff systems of ODE's // BIT. – 1975. – № 15. – P.10-48.

Статья представлена к публикации членом редколлегии Е.А. Ереминым.

E-mail:

Новиков Евгений Александрович – novikov@icm.krasn.ru.